

原子力安全問題セミ 資料

Jun. 4, 1980

H. Koide

No. 1

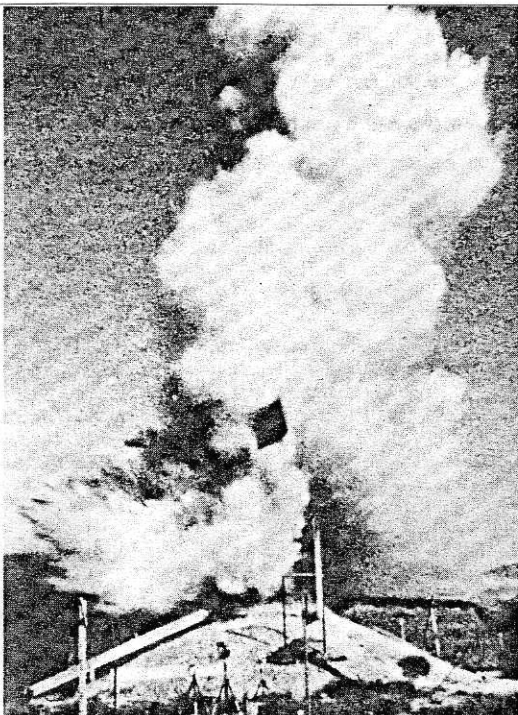
Date

原子力における確率論的安全評価の意味

I. 原子力における確率論的安全評価の登場の歴史と必然性.

1. 原子炉の事故

{ 核的事故 暴走事故、臨界事故 NRX, BORAX-1, SL-1
{ 烈的事故 一次冷却材喪失事故 TMI-2



phot. 1

BORAX(小型BWR)炉で発生した爆発事故。

2. 事故が起った場合、RIの放出を止められるか？ 工学的安全防護系(ESF)

動的機器

緊急炉心冷却装置(ECCS)

格納容器スプレー

静的機器

格納容器

フィルター

3. いかで事故を災害評価で考慮するか？

Common Mode Failure 或いは 初期事象の並行によつては 工学的安全防護系の事故時にかかる作動(Operability)或いは 有効性(Functionability)は 不確かである。

特に動的機器の場合は然りである。

しかし 格納容器の破壊を考慮しておこうと 事故による

被害が“破局的”となることは避けられない。

大事故が起きた場合の被害予測

	WASH-740 (1957)	原子力産業会議	科学技術庁 (1960)	WASH-740 改訂版 (1964-65)	ラ・モンタ (WASH-1400) (1975)
原子炉熱出力 [MW]	500	500		3,200	3,200
急性死者 [人]	3,400	510	0	27,000	$3,300 \times 40$
急性障害者 [人]	43,000	2,900	0	73,000	$45,000 \times 40$
晚発性癌死 [人]	— ^{b)}	—	—	—	$45,000 \times 3$
遺伝的障害者 [人]	—	—	—	—	$25,000 \times 6$
甲状腺癌発生者 [人]	—	—	—	—	$210,000 \times 3$
被験者 [人]	3,800,000	4,000,000	6,600	—	—
永久立退人口 [人]	460,000	30,000	99,000	—	—
“ 土地面積 [km ²]	2,000	—	—	—	750
農業耕作(除草)面積等 [km ²]	390,000	35,000	150,000	7,100,000	8,300
財産損害 [兆円] ^{c)}	2.1 ^{d)}	1	3.7	5.1 ^{e)}	4.2×240
当時の日本の国家予算 [兆円]	~1.2	1.7	—	3.7	21

Table.1

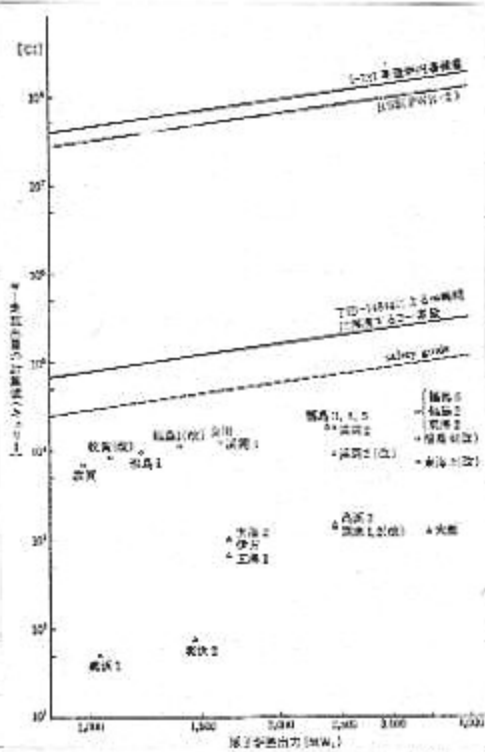
- a) ×で示したものは不確かな上限を表す。
- b) —で示したものは評価値が与えられていない。
- c) この数は呼吸器障害のみで、この他に、一時的不妊など50万~70万 ($\times 4$) の障害が発生すると予測される。
- d) この中には、人の被害を補償する費用は含まれていない。
- e) 一律、300円/U.S. ドルで換算した。

○ 従って立地審査における災害評価は、格納容器の破壊は考慮されず、原3炉の開発初期から、格納容器だけは常に健全であると仮定されてきた。

例) U.C.A. 立地基準 10 CFR part 100 TID-14844

(1962)

Safety Guide (1970~)



沿和財務省基準 (既存事故) の一回路評価の計算値

(改) : 原子炉設備を運転する場合における計算値

△: PWR □: BWR

Fig. 1

○ 日本の安全審査では、格納容器の健全性だけではなく、被害が大きすぎないため、更に、種々の動的機器、静的機器の有効性を假定し、事故時ににおける環境への放射能放出量を引き下げる。

4. 原子炉事故における崩壊熱の重要性

ANS (米国原子力学会) の式

無限時間原子炉運転後の崩壊熱は、Shure の式により、次の関係式で求められる。

$$\frac{P_d}{P_0}(\infty, t_s) = At_s^{-a}$$

ここで、

P_d : 崩壊熱 (MW)

P_0 : 原子炉熱出力 (MW)

t_s : 原子炉停止後時間 (秒)

A および a は以下のような値である。

時間間隔 (秒)	A	a
$10^{-1} \leq t_s \leq 10^1$	0.0603	0.0639
$10^1 \leq t_s \leq 1.5 \times 10^1$	0.0768	0.181
$1.5 \times 10^1 \leq t_s \leq 4 \times 10^1$	0.130	0.283
$4 \times 10^1 \leq t_s \leq 2 \times 10^2$	0.266	0.335

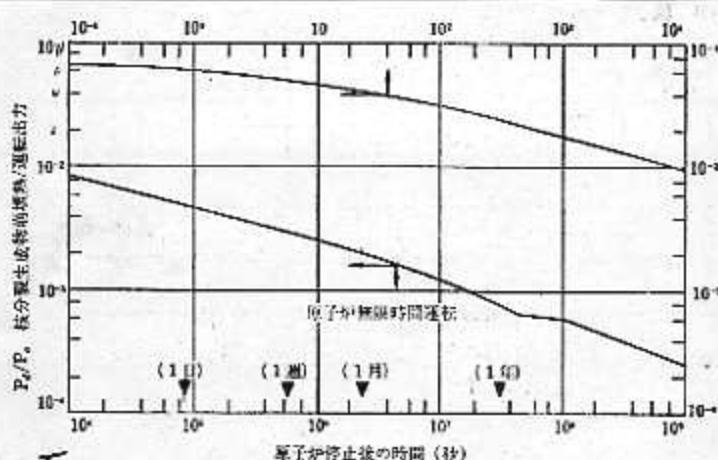


Fig. 2 核分裂生成物の崩壊熱曲線

Wigner-Way の式

核分裂生成物の崩壊に伴う崩壊熱の簡略式の一つとして、Wigner-Way の式があり、次式で与えられる。

$$P_d = 0.0622 P_0 (T^{-0.9} - (T + T_1)^{-0.1})$$

ここで、

P_d : 崩壊熱 (MW)

P_0 : 原子炉熱出力 (MW)

T_1 : 原子炉運転時間 (秒)

T : 原子炉停止後時間 (秒)

である。

○ 核分裂反応が停止しても、停止直後には、崩壊熱が炉出力の約 7% も存在する。

100 MW の原発 (3300 Mwt) \rightarrow 230 MW

KUR (5 Mwt) \rightarrow 0.35 MW

HFR (30 Mwt) \rightarrow 2.1 MW

5. 原子炉の大型化に伴う崩壊熱の巨大化と重要性

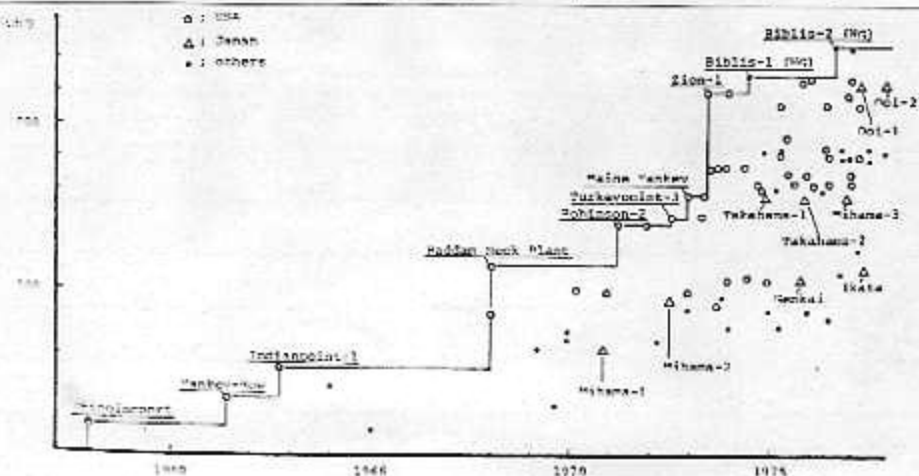


Fig. 3

PWR型発電所大型化の推移
(1975年以降のものは予定)

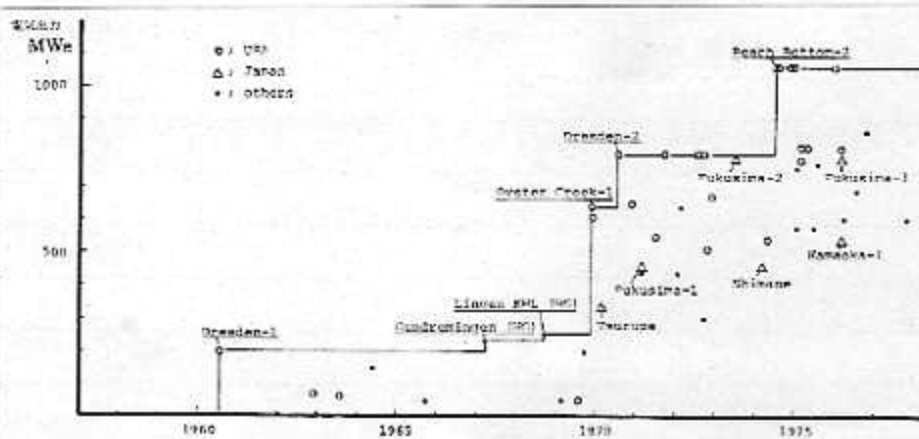


Fig. 4

BWR型発電所大型化の推移
(1975年以降のものは予定)

- 壮麗炉は、1960年代後半から急速に大型化された。
大型化に伴う崩壊熱の巨大化により、カレシ心溶融が
生じるしきい値を突破すれば、格納容器の健全性すら保てない可能性がございます。

Argon Report (TID-24226, Jan. 1968)

Lawson Report (ORNL-NSIC-24 Oct. 1968)

- 従つ、「動的機器の効果は期待しないが、静的機器特に格納容器の効果は期待する」という従来の災害評価の立場が根拠を失った。今や、「動的機器がダメなら静的機器もダメ」という状態になってしまった。

- ・“破局的”な損害を避けうためには、炉心溶融 자체を防止しなければならず。そのためには、ECCSの有効性が実証されなければならぬ。

Semiscale Blowdown 実験の開始

LOFT (Loss Of Fluid Test) 方面の変更

6. ① 従来の災害評価……設計基準事故 (Design Basis Accident) 方式の根拠の崩壊と、安全審査の非科学化
 日本の立地指針 | 重大事故
 | 仮想事故

5. 2 仮想事故

仮想事故としても、重大事故と同様、二つの事故の場合を想定する。

(1) 冷却材喪失事故

重大事故の場合と同じ事故について、炉心スプレイの効果を無視し、炉心内の全燃料が溶融したと仮想する。この場合、炉心内にあるジルコニウムの約 4% が水と反応したとすると、相当量の水素が発生するが、ドライユエルには不活性ガスが充填されているので、発生水素の燃焼は防げる。事故後のドライユエルの最高圧力は設計圧力より低いが、原子炉逃物への核分裂生成物の漏洩時間は長く続く。

重大事故の場合と同様に、線量を計算する。ただし次の仮定は、重大事故の場合と異なっている。

① 炉心の 100% 溶融により、内蔵されている核分裂生成物中の水素の 50%、希ガスの 100% がドライユエル内に放出される。

敦賀原発 (日本最初のBWR)

安全審査報告書 (1966.3.14)

5. 2 仮想事故

仮想事故としては、重大事故と同じ事故について安全注入系の効果を無視して炉心内の全燃料が溶融したと仮想する。また、原子炉格納容器空気再循環設備の効果は、重大事故の半分と仮定する。

この場合、炉心内のジルコニウムの多量が水と反応するが、原子炉格納容器内の最高圧力は、重大事故の場合とはほぼ同じである、線量を重大事故の場合と同様に仮定して、計算する。ただし、次の仮定は重大事故の場合と異なっている。

① 炉心の 100% 溶融により、内蔵されている核分裂生成物のうち、希ガス 100%、水素 50%、固体核分裂生成物 1% 相当分が原子炉格納容器内に放出される。

美濃一号炉 (日本最初のPWR)

安全審査報告書 (1966.11.16)

…それとも格納容器は健全。

ECCS の効果は期待せず、全炉心内燃料の溶融を仮定するにも拘らず、それとも格納容器は健全であると仮定することの矛盾

災害評価が仮定エラーから仮想事故は、科学を離れて文字通り“仮想”事故になつてゐる。

7. 設計基準事故以上の事故を想定不適当事故として無視する二つの根拠はあるか？

- 事故は人命を越えて発生するものがある以上、あらゆる事故は起りうる。
- どうやれば安全評価を考慮し、どうやれば考慮しないが良いのか？
この点につけての基準が存在せず、安全審査を行う一部の専門家の莫然とした判断にゆだねられてきた。
- 科学的・合理的な根拠がない基準が意味があることは当然であるが、その基準すら存在しないまま、原子力の安全性が、一部の専門家の莫然とした判断にゆだねられてくることは著しく不当である。
→ 世界的な原発反対運動の高揚
ECCS論争等、原発反対运动に関する問題へ向けた論争の自然化。

8. "想定不適当"事故の根拠は、「"実質的"にそれが"発生しない"ことを証明する以外に道がない。

• 進歩の立地基準

{ DBA 方式 (U.S.A. 日本)

{ 確率論方式 (U.K.)

- DBA 方式は根拠が崩壊し、確率論方式は物理現象把握や Data Base の不完全さのためにその根拠が脆弱であった
- ~300 年の発電炉の経験蓄積と、コンピュータ技術の進歩を用いて、確率論的に「想定不適当」事故は「実質的」にそれが発生しないことを証明する試み → 確率論的安全評価
- USAECによる Reactor Safety Study (略称 RSS, WASH-1400, Rasmussen Report etc.) の着手

II. 原子炉安全性研究

1. はじめに（一般的な理解の考え方）

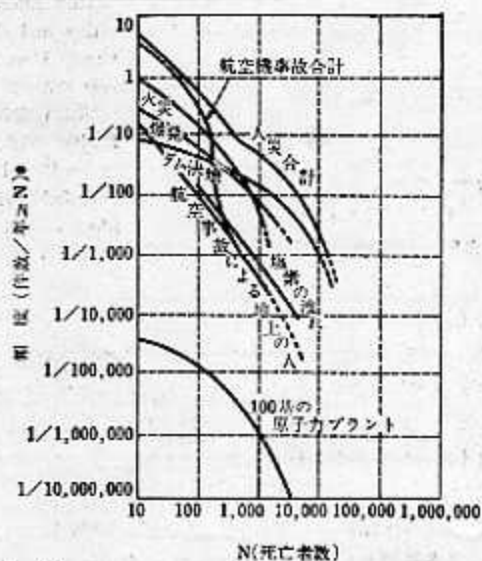


Fig. 5
人災による死亡の頻度

- 注) 1. 自動車事故の死者は、データが利用できないので示されていない。自動車事故による死者は、一年につき約50,000人である。
 2. 原子炉事故の評価の不確定さは、大きさについては1/4、4倍、確率については1/5、5倍と評価されている。
 3. 自然災害および人災については、記録された最大の災害の大きさを与える確率の不確定さは、1/20、5倍と評価される。災害の大きさが小さければ不確定さも減少する。

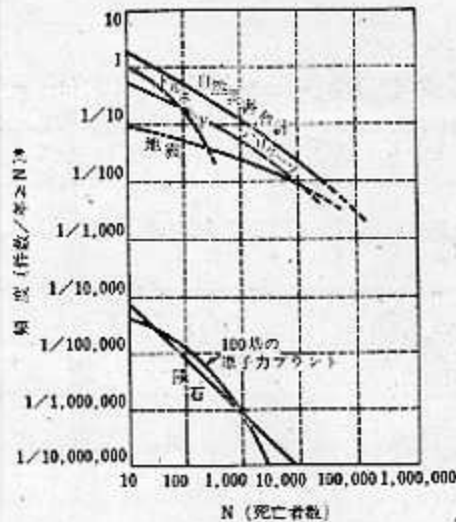


Fig. 6.

自然災害による死亡の頻度

- 注) 1. 自然災害および人災については、記録された最大の災害の大きさを与える確率の不確定さは1/20、5倍と評価されている。大きさが小さければ、不確定さも減少する。
 2. 原子炉事故の不確定さは大きさについては、1/4、4倍であり、確率については1/5、5倍と評価されている。

出典: WASH-1400

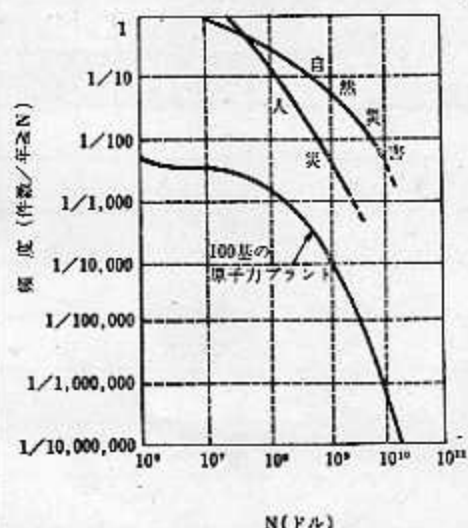


Fig. 7

自然災害および人災による財産上の被害の頻度

- 注) 1. 自動車事故による財産上の被害は、確率の小さい事象に対してデータが得られないで含まれていない。自動車事故による被害は、毎年約150億ドルである。
 2. 原子炉事故の不確定さは大きさについては1/5、2倍であり、確率については1/5、5倍と評価されている。
 3. 自然災害および人災については、記録された最大の災害の大きさを与える確率の不確定さは、1/20、5倍と評価されている。大きさが小さければ不確定さも減少する。

出典: WASH-1400

(9) 非専門家において原子炉の安全性を理解するための比較的わかりやすい他の説明手法としては、そのリスク(潜在的危険性)を確率論的手法により数値をもつて示す方法がある。この点でどうしても触れなければならないのは、ラスマッセン報告についてであるが、この報告は、原子炉のリスク(事故の起こる確率とそれによって生ずる被害の大きさとの積として理解される)がどの程度になるかを、他の人為的危険又は自然災害と比較したものである。これは当時のアメリカ原子力委員会(AEC)によって、マサチューセッツ工科大学(MIT)のラスマッセン教授(N. C. Rasmussen)の指導の下に、約三年の歳月と約400万ドルの経費を費やして、多くの科学者・技術者を動員して行われた研究の成果である。そして、このラスマッセン報

告は、原子炉の安全性を確率論的手法によって示した本格的研究としては唯一のものであり、現在極めて高い評価と権威が与えられている。この報告によると、一個人が一年間に原子炉事故に遭遇して死亡するリスクは、原子炉一基をひとまとめとしても五〇〇万分の一であり、同一の想定につき自動車事故が四〇〇〇万分の一、火災が二万五〇〇〇分の一のリスクを有するのに比して、はるかに小さい。これを炉心溶融事故を想定して別の形で表現すれば、原子炉一〇〇基をひとまとめとして考えても、一度に一人以上の死亡を伴う事故が発生する確率は三万年に一回であり、一〇〇〇人以上死んでしまう事故の発生については、一〇〇万年に一回である。この値は、「一個の固体がアメリカ合衆国の人口集中部に落下して一度に一〇〇〇人を死」させる確率として示している。

(10) ところで、右に述べた原子炉の安全性を確率論的手法によって示す方法には誤解を招きやすい点がある。それは、右にいう確率をもって、想定された事故が必ず発生する時間的ひん度を示すものとして誤って受け取られるおそれがないことである。しかし、右にいう確率は、「三くじが当たる確率」などという場合の確率とは意味が全く異なる。例えば、想定された事故の発生する確率が一〇〇万年に一回であるという意味は、当たりくじが一〇〇万本に一本あるというのとは全く異なり、当該事故の発生するリスク、すなわち、あくまでも潜在的でない、潜在的な危険性の程度を数値をもって示したものにすぎない。換言すれば、その数値は、原子炉の有するリスクの程度を説明する一つの手段、いわば「方便」といってよいものである。したがって、一〇〇万年に一回起り得るとされることはあって、右程度の発生確率を有するにすぎない「事故」というものは、現実には起こり得ないといって何ら差し支えないものである。

2. 概要

- 1972年初頭から、研究着手の計画、人選。

Norman C. Rasmussen. (MIT. Nuclear Engineering Dep.)

1972年8月 研究開始

1974年8月 Draft Report

1975年10月 Final Report

- Executive Summary

12頁

Main Report

280頁

Appendix

約 2200頁

APPENDIX I Accident Definition and Use of Event Trees

APPENDIX II Fault Trees

APPENDIX III Failure Data

APPENDIX IV Common Mode Failures

APPENDIX V Quantitative Results of Accident Sequences

APPENDIX VI Calculation of Reactor Accident Consequences

APPENDIX VII Release of Radioactivity in Reactor Accidents

APPENDIX VIII Physical Processes in Reactor Meltdown Accidents

APPENDIX IX Safety Design Rationale for Nuclear Power Plants

APPENDIX X Design Adequacy

APPENDIX XI Analysis of Comments on the Draft WASH-1400 Report

- 合計 400万\$ の費用。

3. 内容の概説。

- 全体的な研究作業の構成

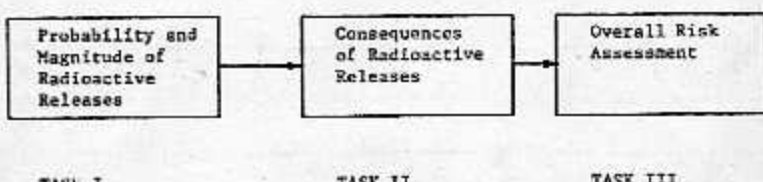


Fig. 8

* TASK I, TASK II & Task III flowchart.

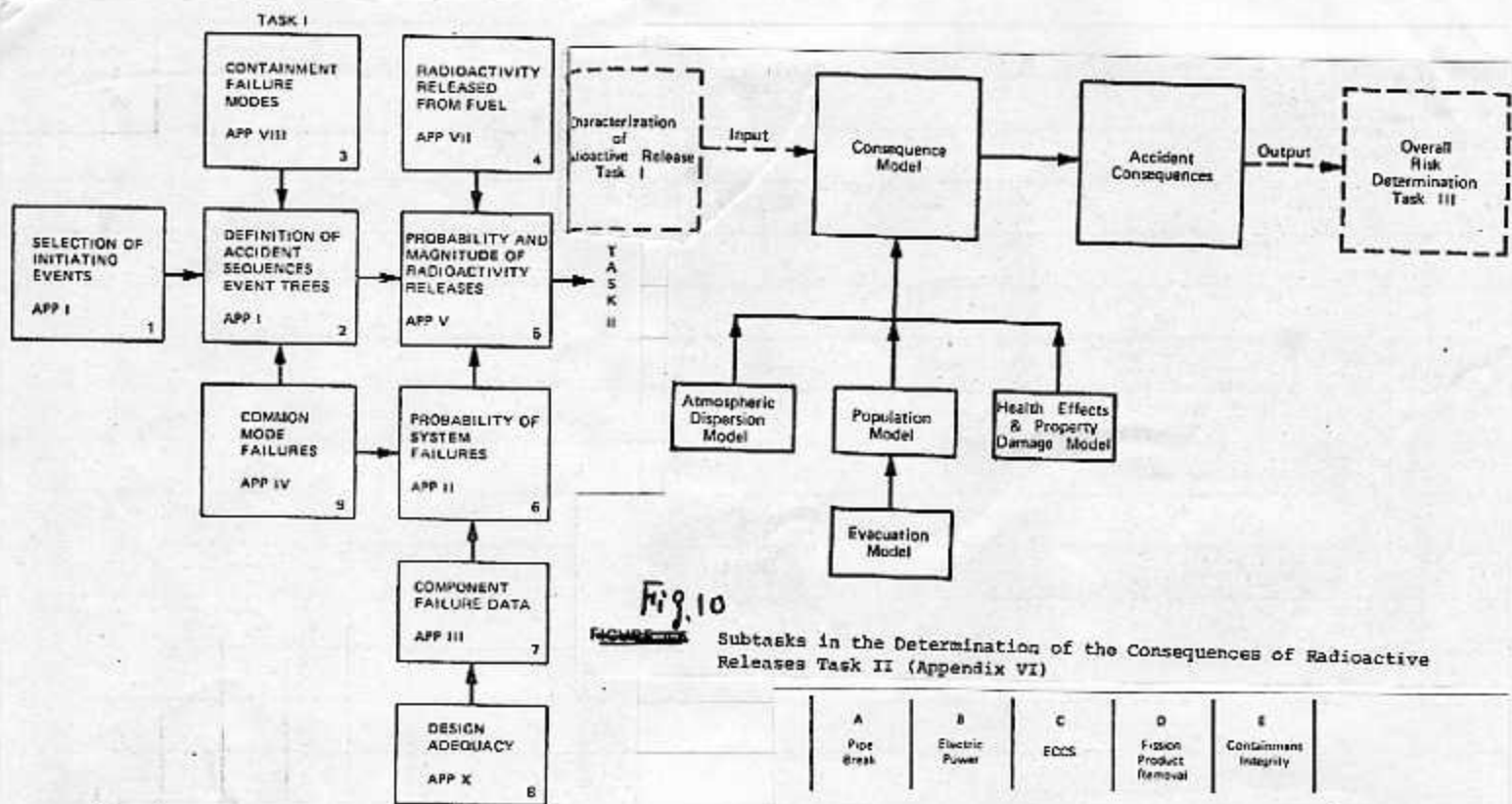


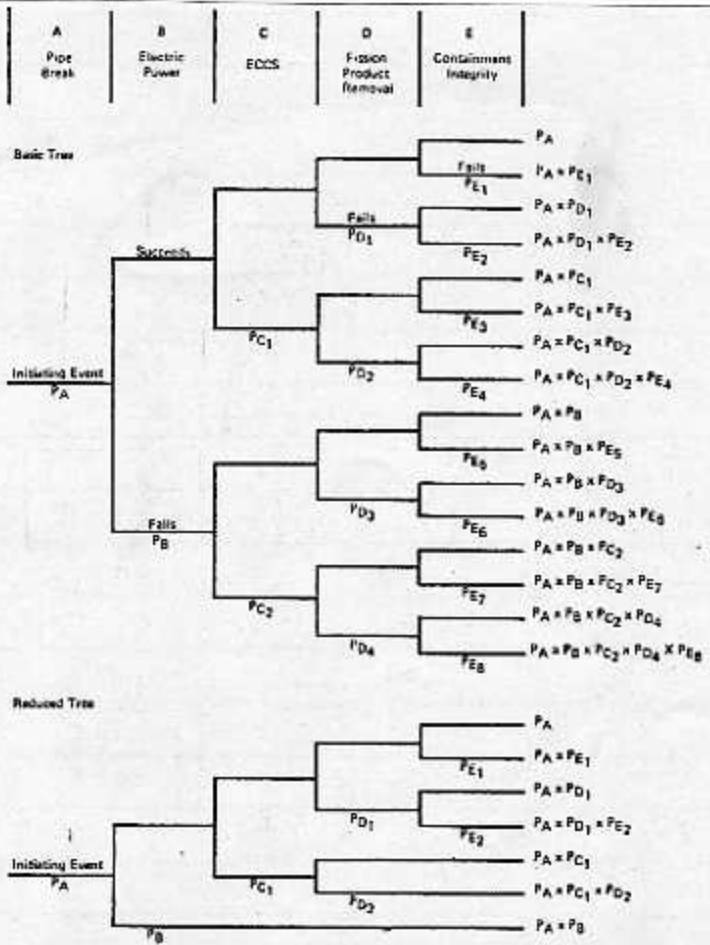
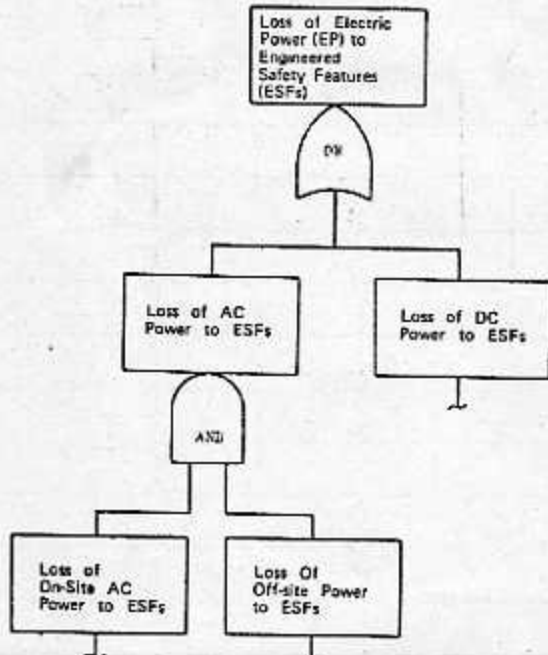
Fig. 10

FIGURE 10 Subtasks in the Determination of the Consequences of Radioactive Releases Task II (Appendix VI)

Fig. 9

FIGURE 9 Subtasks in the Quantification of Radioactive Releases

Fault Tree \rightarrow Event Tree \rightarrow



Note: Since the probability of failure, P_f , is generally less than 0.1, the probability of success ($1-P_f$) is always close to 1. Thus, the probability associated with the upper (success) branches in the tree is assumed to be 1.

Fig. 11

FIGURE 11 Illustration of Fault Tree Development

事故の類型化と発生確率の評価

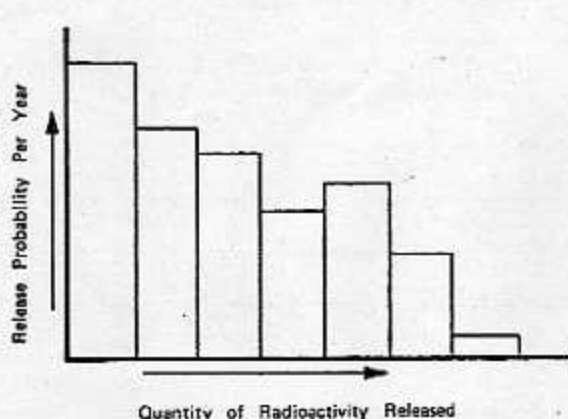


Fig. 13

FIGURE 13 Illustrative Release Probability Versus Release Magnitude Histogram

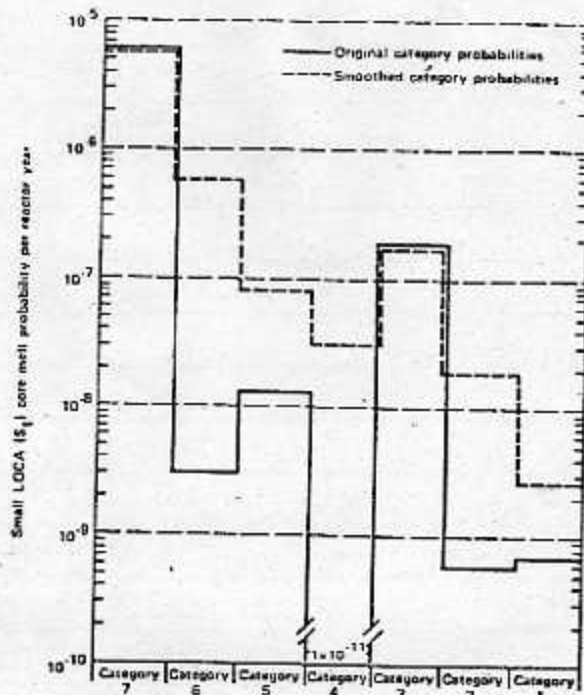


Fig. 14

Application of Probability Smoothing

Table. 2

SUMMARY OF ACCIDENTS INVOLVING CORE

PROBABILITY per Reactor-Yr	TIME OF RELEASE (Hr)	DURATION OF RELEASE (Hr)	WARNING TIME FOR EVACUATION (Hr)	ELEVATION OF RELEASE (Meters)	CONTAINMENT ENERGY (10^6 Btu/Hr)	FRACTION OF CORE INVENTORY RELEASED (a)							
						Xe-Xr	Org. I	I	Cs-Rb	Te-Sb	Ba-Sr	Ru (b)	La (c)
1×10^{-7}	2.5	0.5	1.0	25	520 (d)	0.9	6×10^{-3}	0.7	0.4	0.4	0.05	0.4	3×10^{-3}
2×10^{-6}	2.5	0.5	1.0	0	170	0.9	7×10^{-3}	0.7	0.5	0.3	0.06	0.02	4×10^{-3}
3×10^{-6}	5.0	1.5	2.0	0	6	0.8	6×10^{-3}	0.2	0.2	0.3	0.02	0.03	3×10^{-3}
4×10^{-7}	2.0	3.0	2.0	0	1	0.6	2×10^{-3}	0.09	0.04	0.03	5×10^{-3}	3×10^{-3}	4×10^{-4}
5×10^{-7}	2.0	4.0	1.0	0	0.3	0.3	2×10^{-3}	0.03	9×10^{-3}	5×10^{-3}	1×10^{-3}	6×10^{-4}	7×10^{-5}
6×10^{-6}	12.0	10.0	1.0	0	N/A	0.3	2×10^{-3}	8×10^{-4}	8×10^{-4}	1×10^{-3}	9×10^{-5}	7×10^{-5}	1×10^{-5}
7×10^{-5}	10.0	10.0	1.0	0	N/A	6×10^{-3}	2×10^{-5}	2×10^{-5}	1×10^{-5}	2×10^{-5}	1×10^{-6}	1×10^{-6}	2×10^{-7}
8×10^{-5}	0.5	0.5	N/A	0	N/A	2×10^{-3}	5×10^{-6}	1×10^{-4}	5×10^{-4}	1×10^{-6}	1×10^{-6}	0	0
9×10^{-4}	0.5	0.5	N/A	0	N/A	3×10^{-6}	7×10^{-9}	1×10^{-7}	6×10^{-7}	1×10^{-9}	1×10^{-11}	0	0
1×10^{-6}	2.0	2.0	1.5	25	130	1.0	7×10^{-3}	0.40	0.40	0.70	0.05	0.5	5×10^{-3}
2×10^{-6}	30.0	3.0	2.0	0	30	1.0	7×10^{-3}	0.90	0.50	0.30	0.10	0.03	4×10^{-3}
3×10^{-5}	30.0	3.0	2.0	25	20	1.0	7×10^{-3}	0.10	0.10	0.30	0.01	0.02	3×10^{-3}
4×10^{-6}	5.0	2.0	2.0	25	N/A	0.6	7×10^{-4}	8×10^{-4}	5×10^{-3}	4×10^{-3}	6×10^{-4}	6×10^{-4}	1×10^{-4}
5×10^{-4}	3.5	5.0	N/A	150	N/A	5×10^{-4}	2×10^{-9}	6×10^{-11}	4×10^{-9}	8×10^{-12}	8×10^{-14}	0	0

Discussion of the isotopes used in the study is found in Appendix VI. Background on the isotope groups and release mechanisms is found in Appendix VII.

(a) Includes Mo, Rh, Te, Co.

(b) Includes Nd, Y, Ce, Pr, La, Nb, Am, Cm, Pu, Np, Zr.

(c) Lower energy release rate than this value applies to part of the period over which the radioactivity is being released. Effect of lower energy release rates on consequences is found in Appendix VI.

Table 3

EHR FOULPLAY ACCIDENT SEQUENCES VIA BETA-FREE DISTRIBUTIONS

KEY TO PWR ACCIDENT SEQUENCE SYMBOLS

An Intermediate to large LOCH

1922] THE BUREAU OF ANTHROPOLOGY

In initiating transient which is a loss of offsite AC power.

C-failure of the containment spray injection system.

D. Failure of the emergency core cooling injection system

Failure of the containment spray recirculation system.

G-failure of the containment heat removal system.

Hazards of the emergency core cooling recirculation system.

K. Failure of the reactor protection system.

McGraw-Hill also publishes McGraw-Hill's *Steam Systems* and *Water Treatment*.

Outline of the system design, including valves and the power conversion

REACTIVE THERAPY OF THE SEASONAL MELANCHOLIA

S. = small EGA with Δ^2 quotients. All maps are surjective.

S₁, *S₂*, *S₃*, small LLOA with an equivalent diameter of about 1/3 to 3 mm.

τ -Transient events.

V-LEIS check valve failure

Q- Containment rupture due to a reactor vessel steam explosion

B- Containment failure resulting from inadequate isolation of a

Y-Containment failure due to hydrogen burning.

5—Containment failure due to overpressure

E—Containment vessel melt-through

[2] SEPARATE UP ALL ANCIENT REFERENCES PER PLEASE CATEGORIZE

Note: The probabilities for each disease category for each event type and the λ for all accident sequences are the median values of the dominant accident sequences found by Monte Carlo simulation plus a 10% contribution from the admissible extremes.

4. 結果 • 最終的な結果
しかし、これが以外に多くの被害が隠されている

TABLE 4 CONSEQUENCES OF REACTOR ACCIDENTS FOR VARIOUS PROBABILITIES FOR 100 REACTORS

Chance Per Year	Consequences					
	Early Fatalities	Early Illness	Total Property Damage \$10 ⁶	Total Decontamination Area - Square Miles	Relocation Area - Square Miles	
One in 200 ^(a)	<1.0	<1.0	<0.1	<0.1	<0.1	<0.1
One in 10,000	<1.0	300	0.9	2000	130	140
One in 100,000	110	300	3	3200	250	170
One in 1,000,000	900	14000	8	-	290	110
One in 10,000,000	3300	45000	14	-	-	-

(a) This is the predicted chance per year of core melt considering 100 reactors.

TABLE 5 CONSEQUENCES OF REACTOR ACCIDENTS FOR VARIOUS PROBABILITIES FOR 100 REACTORS

Chance Per Year	Consequences		
	Latent Cancer Fatalities (per year) ^(b)	Thyroid Nodules (per year) ^(b)	Genetic Effects (per year) ^(b)
One in 200 ^(a)	<1.0	<1.0	<1.0
One in 10,000	170	1400	25
One in 100,000	460	3500	50
One in 1,000,000	860	5000	100
One in 10,000,000	1500	8000	170
Normal Incidence	17,000	8000	8000

(a) This is the predicted chance per year of core melt considering 100 reactors.

(b) This rate will occur approximately in the 10 to 40 year period after a potential accident.

P=10⁻³/reactor-year の事
故時に予想される急性障害者

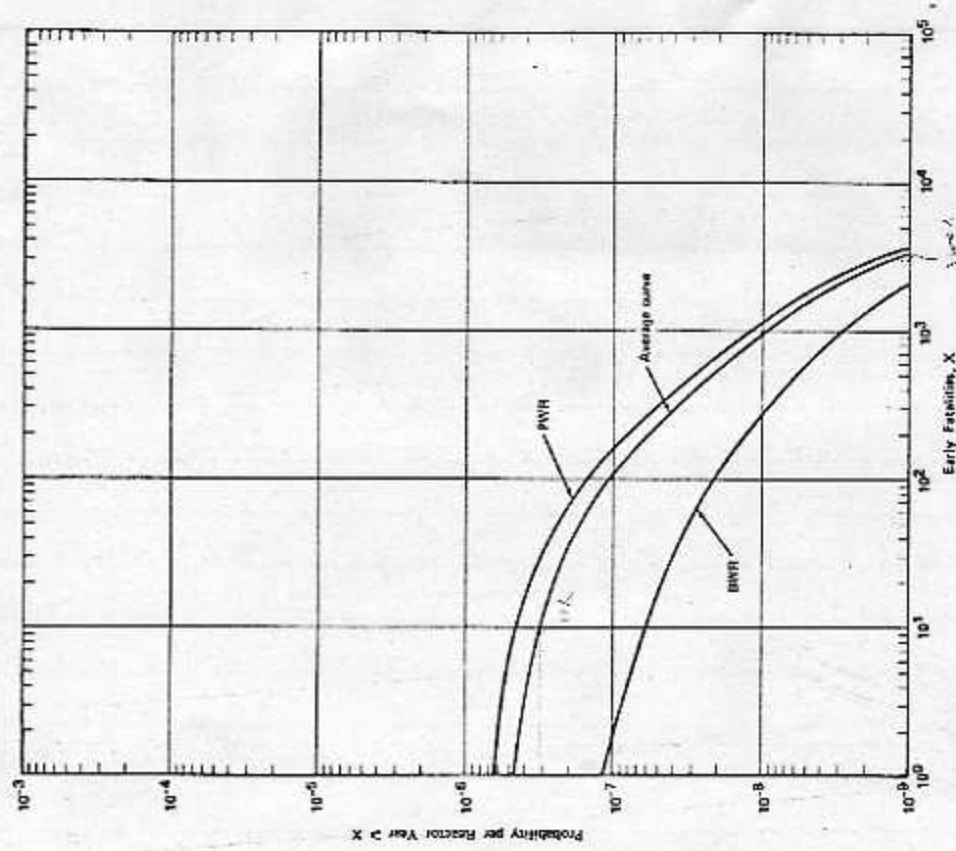
Table. 6

症 状	発生数(人)
呼吸器障害	45,000
甲状腺機能低下症	240,000
男性の一時的不妊	350,000
女性の長期的(大部分)或いは永久的月经抑制(不妊)	40,000~100,000
重度の嘔吐感	10,000~100,000

Table. 7

「財産損害」に関して考慮された被害

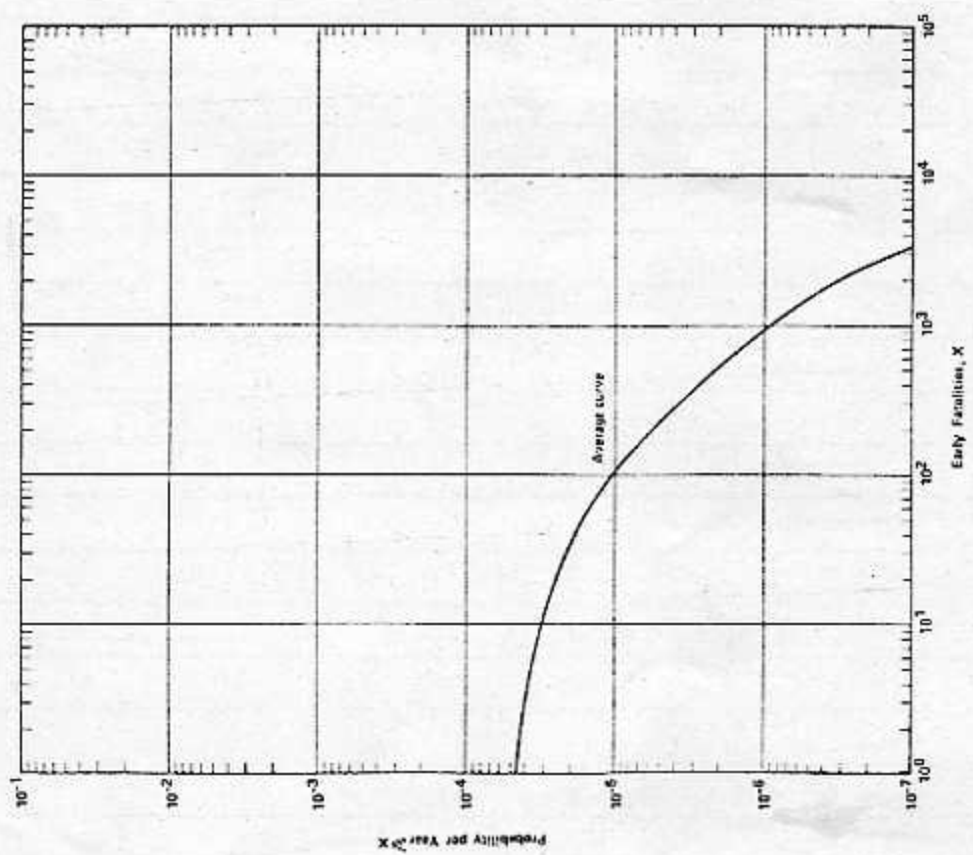
- (1) 避難に要する費用
- (2) 一時立退きに要する費用
- (3) 土地の除染費用
- (4) 除染費が高すぎるため放棄する土地や財産の費用
- (5) 農産物廃棄の費用



Note: Approximate uncertainties are estimated to be represented by factors of 1/4 and 4 on consequence magnitudes and by factors of 1/5 and 5 on probabilities.

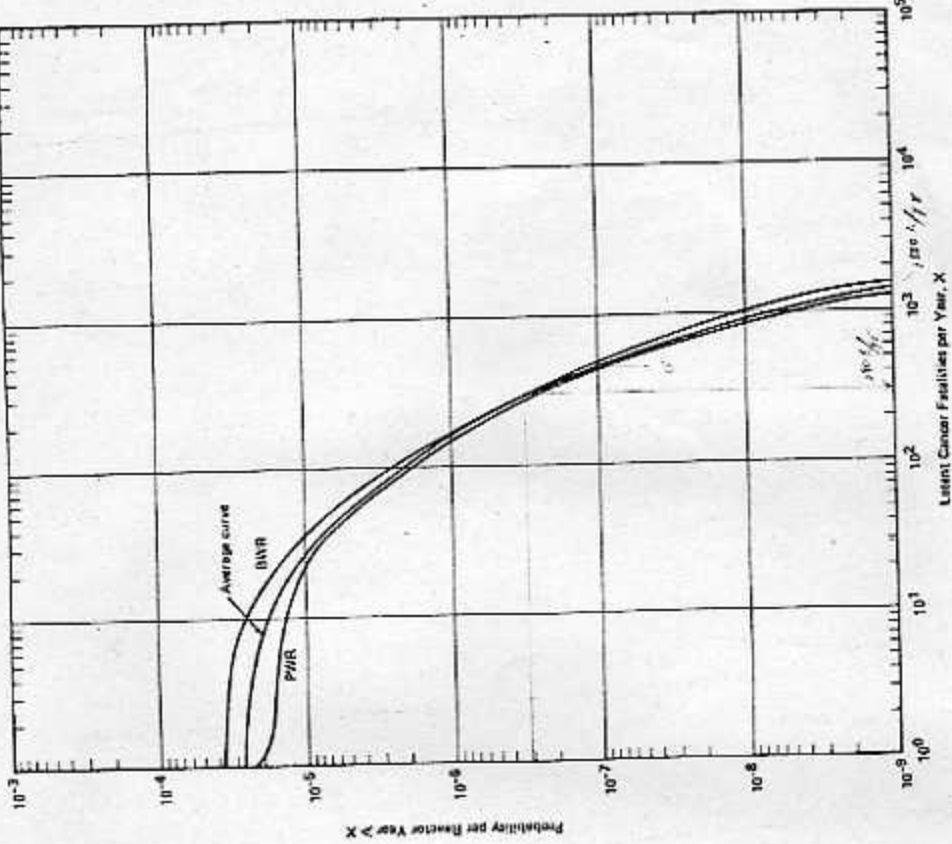
FIGURE 14 - Probability Distribution for Early Fatalities Per Reactor Year

$$P_{W R} = 2 \times B W R \times \frac{1}{X^2}$$



Note: Approximate uncertainties are estimated to be represented by factors of 1/4 and 4 on consequence magnitudes and by factors of 1/5 and 5 on probabilities.

FIGURE 15 - Probability Distribution for Early Fatalities for 100 Reactors

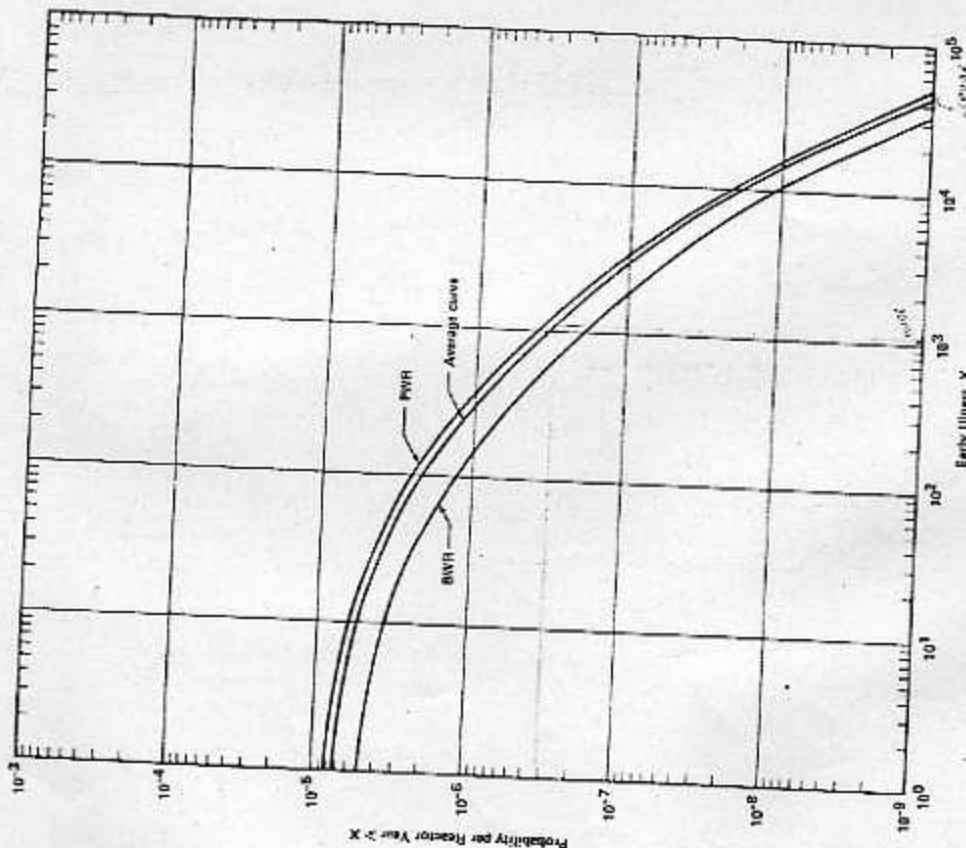


Note: Approximate uncertainties are estimated to be represented by factors of 1/5 and 3 on consequence magnitudes and by factors of 1/5 and 6 on probabilities.

FIGURE 17 Probability Distribution for Latent Cancer Fatalities per Year
晚癥性癌症の確率分布

-121-

図17

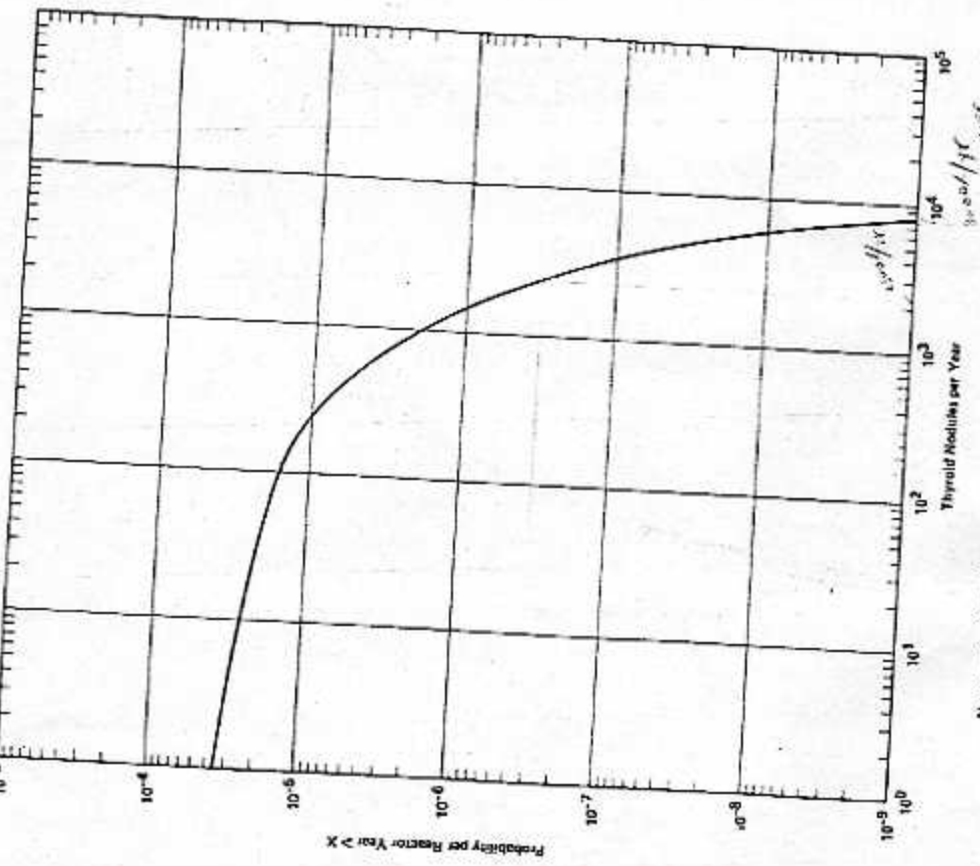


Note: Approximate uncertainties are estimated to be represented by factors of 1/4 and 4 on consequence magnitudes and by factors of 1/5 and 6 on probabilities.

FIGURE 18 Probability Distribution for Early Illness per Reactor Year
早期疾患の確率分布

-119-

15

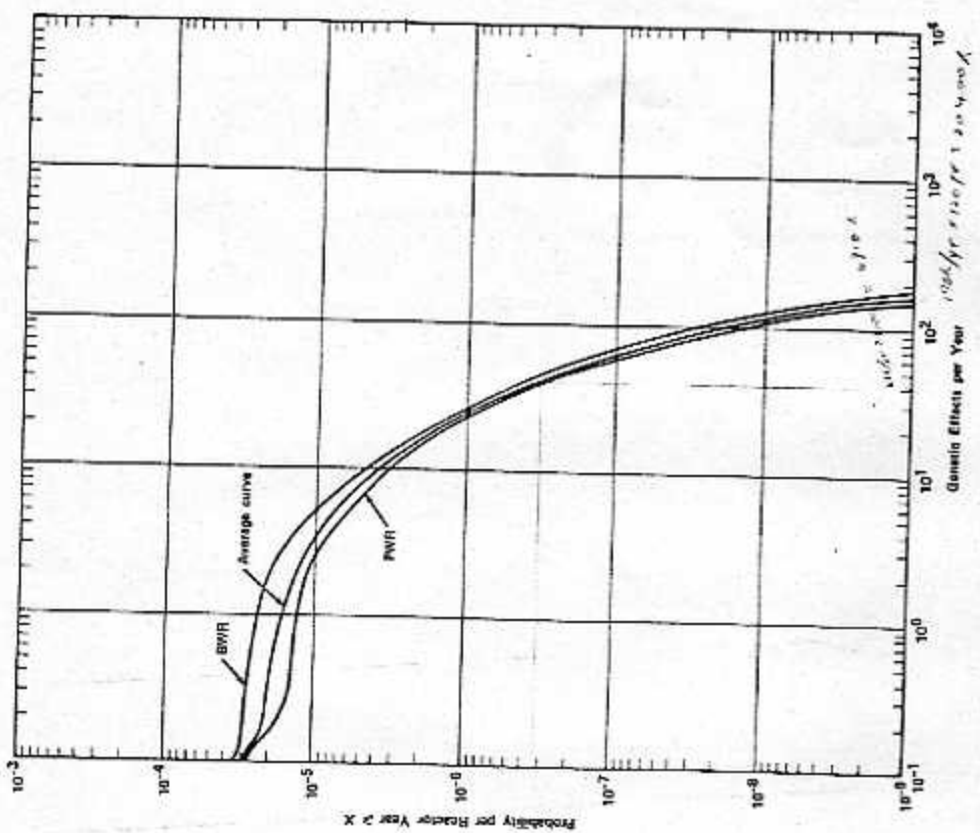


Notes: 1. Approximate uncertainties are estimated to be represented by factors of 1/3 and 3 on consequence magnitudes and by factors of 1/5 and 5 on probabilities.

2. PNP and BWR are nearly identical.

FIGURE 19 Probability Distribution for Thyroid Nodules Per Year

-123-
甲状腺腫瘍の発生率、平均値は
10^-4 年 \sim 40 年範囲で。



Note: Approximate uncertainties are estimated to be represented by factors of 1/3 and 6 on consequence magnitudes and by factors of 1/5 and 5 on probabilities.

FIGURE 20 Probability Distribution for Genetic Effects Per Year

-125-
基因的障害の発生率、
「割合」一世代(30年間)程度で
その確率を維持した場合の合計率を
「割合」150年前後、これが相当大き
い割合。

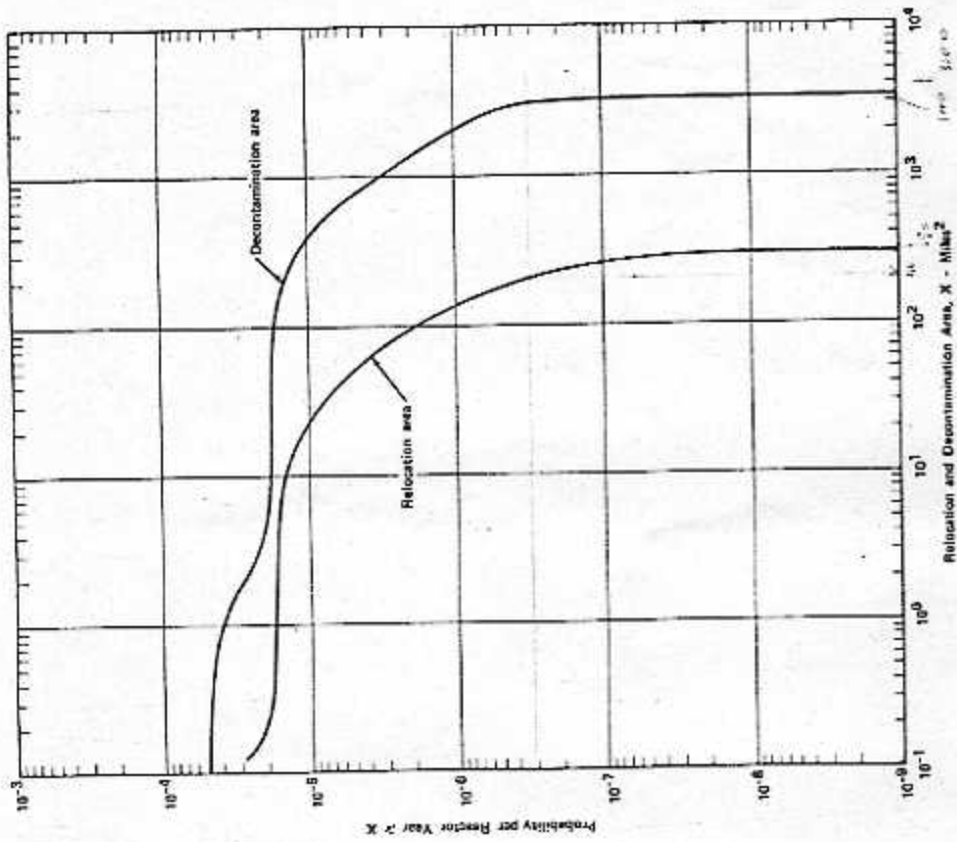
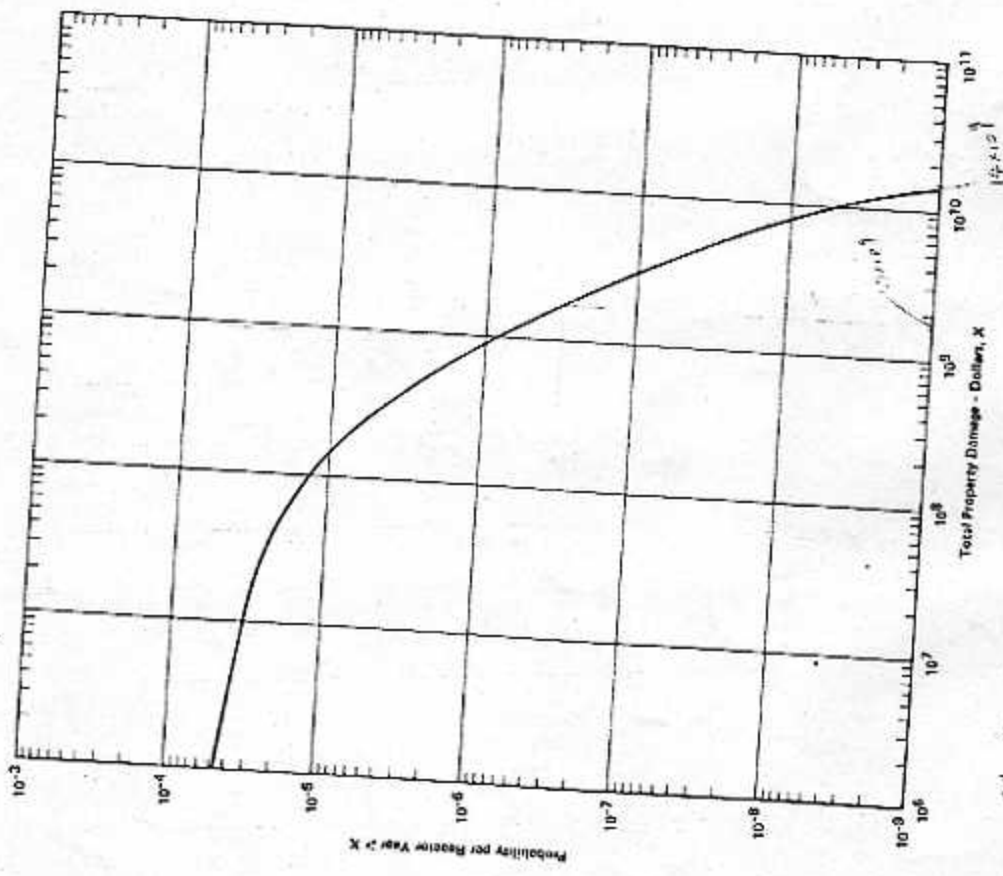


FIGURE 2 / Probability Distribution for Relocation and Decontamination Area
Per Reactor Year

-129-



Note: Approximate uncertainties are estimated to be represented by factors of 1/5 and 2 on consequence magnitudes and by factors of 1.5 and 5 on probabilities.

FIGURE 3 / Probability Distribution for Property Damage Per Reactor Year

-127-

5. RSS に於ける結果の表示は原発の危険の全体像を示してい。す。

○ 死者と急性死者の割合

(Executive Summary が流行の傾向との意味と
それに対する危機的・危険的性、或いはその問題)

危機的・危険的利用の問題

Executive Summary に於ける図

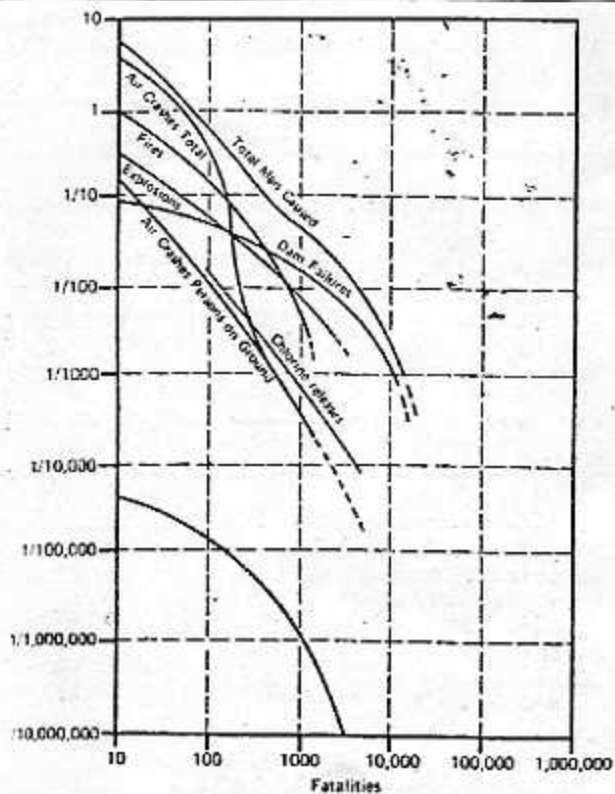


Fig. 23 Frequency of Fatalities due to Man-Caused Events

- Notes:
1. Fatalities due to auto accidents are not shown because data are not available. Auto accidents cause about 50,000 fatalities per year.
 2. Approximate uncertainties for nuclear events are estimated to be represented by factors of 1/4 and 4 on consequence magnitudes and by factors of 1/5 and 5 on probabilities.
 3. For natural and man caused occurrences the uncertainty in probability of largest recorded consequence magnitude is estimated to be represented by factors of 1/20 and 5. Smaller magnitudes have less uncertainty.

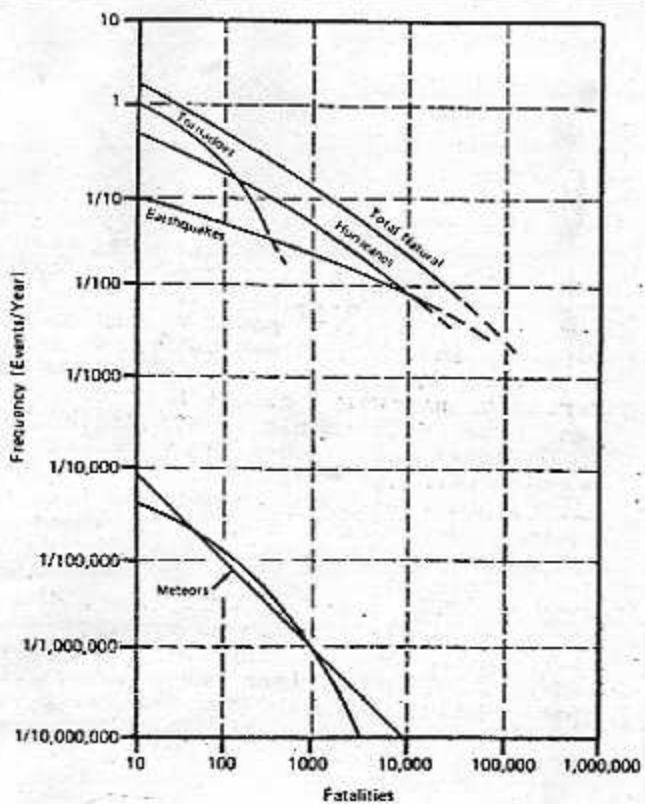


FIGURE 24 Frequency of Fatalities due to Natural Events

- Notes:
1. For natural and man caused occurrences the uncertainty in probability of largest recorded consequence magnitude is estimated to be represented by factors of 1/20 and 5. Smaller magnitudes have less uncertainty.
 2. Approximate uncertainties for nuclear events are estimated to be represented by factors of 1/4 and 4 on consequence magnitudes and by factors of 1/5 and 5 on probabilities.

この図は、7頁の Fig. 5, Fig. 6 のものと比較して、Fig. 23 のものである。
横軸は "Fatalities" と記されている。

この図の特徴は、13頁の Fig. 16 とある。横軸は
"Early Fatalities" である。

原発の事故が "2 次災害" のは、Table 4~7, Fig. 15~22
で明らかである。急性死者は比較的小く、ECL3 晩発性の影響

2つめ、

例えば、急性死者とこれは10人が生じる…様な事故の場合とか、

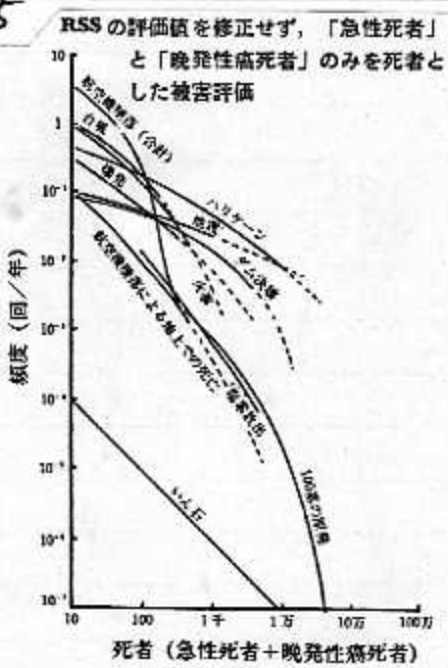
晚発性癌死者は、合計約7,500人

直立的障害者は、合計約6,000人

甲状腺癌死者は、合計約6,900人

が発生すると RSS 自身が辛倒れとなる。

Fig. 25



- この問題は Draft Report の公表後から、多くの批判を浴びたが、結局 Final Report では NPP などについてだけ、図自体の修正或いは撤回は行われなかった。

つまり、急性死者と、晚発性癌死者のみを死者として、原発事故による被害は Fig. 25 のやく巨大である。

- 原発のリスク（危険）は何によって測らねるのか？

原発の危険をが急性死者を尺度にして測れるだけ当然

Fig. 25 では、急性死者と晚発性死者のみと原発の被害の尺度としたが、原発の場合、それ以外にも急性障害者、直立的障害者、甲状腺癌死者が生じ、その上さらに除染したり、農業制限を行ったり、永久に放棄せねばならない、土地が生ずる。勿論、この土地も様々な被害が生ずるが、重要なことは、こうして多様な被害が、全く一齊に生ずることであり、原発の危険を考慮するにはこれら全ての被害を合計して尺度としたければならない。（放射線障害者（=被曝者）に生ずる様な社会的な）困難等を一体どのように定量化するのか？

6. RSS 及び確率論的 安全評価に対する批判

- Event Tree, Fault Tree の手法は アボロ計画にすぐれ失敗しない。

アボロの第4段ロケットエンジンの 失敗確率

予測値 10^{-4}

地上テストにおける実測値 4×10^{-2}

- Event Tree の本質的欠陥。

事故は予期しないことと不直といふ。

初期中空、中空レーケンス等の見落としは避けられない。

Browns Ferry 原発の大災事故 (1975年3月)

RSS では 大災を初期中空とする事故の考慮をされなかつて、
その確率評価は直線とし 3×10^{-5} 大災を初期中空とする炉心
溶融確率は 1×10^{-5} /炉年となり 全炉心溶
融確率 5×10^{-5} /炉年 $\approx 20\%$ となつた違する。

Three Mile Island 原発の大災冷却材喪失事故 (1979年3月)

事故とはあらかじめ考えられていた以上に全く様相が
異なることを示した。(機器、コンピュータ等の誤動作)
大量の水素発生による炉心冷却の阻害等も全く
考慮されておらず。

RSS が考慮された事故レーケンスのうち TMI 原発に
最も類似した事故レーケンスは、その発生確率が
 3×10^{-9} /炉年 と予測値されども

- 故障率データが不完備であり、不適当である。

商業用原子炉の運転経験は まだ約 400 原子炉・年
程度しかなく、経験的に事故確率を評価することは
不可能である。

RSS は通常の化学プラント等のデータを利用しているが、
それらが、原発の機器を代表して保証もないし、
原発には原発固有の機器も存在している。

ECCS の有効性 (Functionability) は 大-LOCAの場合
のみ 失敗確率を 0.1 と仮定しているが、この値
には何の根拠もないし、更に、炉心溶融確率が
最大の寄与をする 小-LOCA の場合には、100%
有効に働くことされる。

RSS では圧力容器の破損確率は 1×10^{-7} / 炉・年と
いっただが、U.K. や F.R.G. の方では原3炉以外の圧力
容器の経験では、炉内圧破損の確率は $10^{-5} \sim 10^{-4}$
/ 炉・年の範囲にある。

RSS は品質管理の厳重さを理由に上の仮定が正当
であるとしたが、圧力容器の健全性には、大型化
鋼材の厚さ、溶接、放射化の問題、放射線損傷等
多数の要因が絡んでゐる。その上、原器との品質管
理に重大な欠陥が相づつと見つかっている。

(大飯原発、高浜原発等の事故)

- Common Mode Failure の取り扱いが不充分である。
事故の全経路へわたって、機器の独立性、既属性
を明確にするには着しく困難である。
実際の、グラウニス事故や TMI 事故で
Common Mode Failure が大きな役割を果してしまった。
- Human Error は定量化しえない。
原発には、Jail Safe, Tool proof などシステム
が無数に存在する上に Human Error は避け
られない。

- 事故による被害評価モデルは不適切
半減期と時間との混迷がある。より非現実的
な仮定と、それにも拘らず、家庭に対する遮蔽
効果を考えるという矛盾
生物学的効果の過小評価。(EPAによる指摘)
BEIR のデータを利用している。

Dose Rate Effective Factors という係数を用いる。
急性障害に関する治療が可能と仮定すれば、
(放射線障害にてて、適切な治療ができる病院)
は全米で 1% しかなく、患者数は 50~150 人。

全体的に RSS は生物学的効果を $2 \sim 10 \text{ mrem}$
と評定している。

(事故の発生確率は $2 \times 10^{-3} \sim 10^{-2}$ 年/回)

- 地震に対する考慮が不適切

• 地震によるシステムの故障率は、故障する機器の内容に

に関する考慮がな。

- ・米国にかけた地震が発地帯である西部のデータを無視
- ・地震の観測歴は浅く、データがとぼしい。(Fig. 26)
- ・日本の場合についと言えば、日本は世界有数の地震多発国であり、地震と初期事故とする炉心溶融は重要である。(Table. 8)

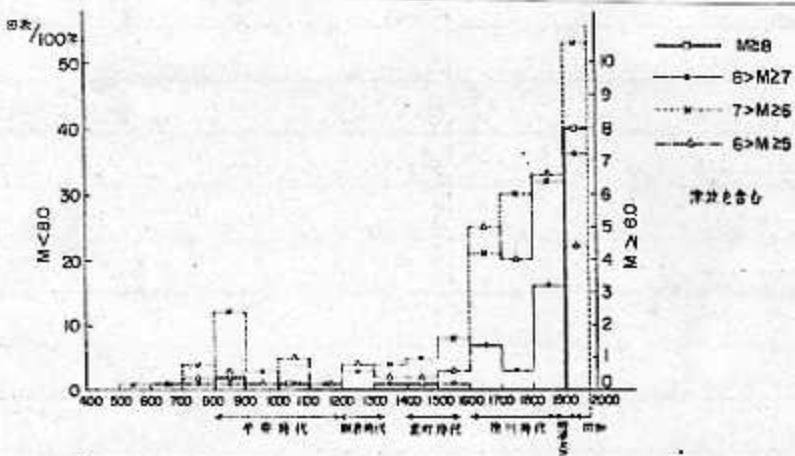


Fig. 26

日本における有感地震近1000年ごとの回数(SSEを200ガルにすると)

Table. 8

地震による炉心溶融事故の発生確率

(炉年当たり)

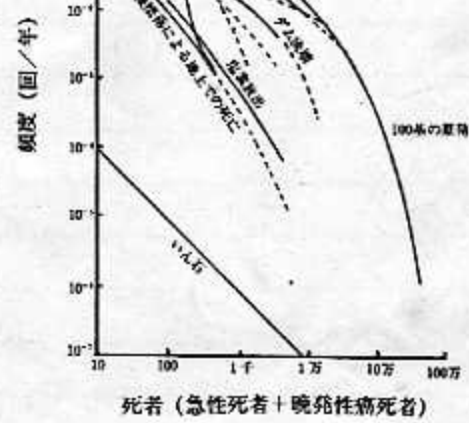
(SSEを200ガルとして設計された原子炉の場合)

地盤の 震度平均 加速度均 値区分	炉心溶融事故の確率			日本 (有感地震記録より)	
	米国東部 (RSSより)		米国東部(單一 故障の仮定)		
	平均的 地盤	堅固な 地盤	平均的 地盤		
200ガル	2×10^{-6}	6×10^{-6}	7×10^{-7}	2×10^{-7}	6×10^{-6}
500ガル	2×10^{-7}	3×10^{-6}	1×10^{-6}	2×10^{-7}	4×10^{-6}
1000ガル	3×10^{-7}	2×10^{-6}	1×10^{-6}	7×10^{-8}	1×10^{-6}
合計	5×10^{-7}	6×10^{-6}	3×10^{-6}	5×10^{-7}	1×10^{-5}

- ・後りに全く恣意的
事故の発生確率を RSS の 20%
事故による被害を RSS の 10%
と仮定し、急性死者と晚発性死者
のみを死者ヒュリスティクスを図示
する(Fig. 27 となる)

(このあたり、多數の連続的障害、炉内爆発
等が同時に発生し、更に広大な土地、
作物、財産が汚染される)

Fig. 27. RSS の明確な誤りを補正しただけの修正図



7. NRCと RSS 支持撤回とその後の動き

- o. RSS検討委員会レポート (Lewis Report) Sep. 1978.
 - a. RSSの手順 (Event Tree, Fault Tree 手順) 自身は評価を誤る。
 - b. RSS がデータベースが不完全である。確率評価モデル、数値的処理についても不適切な部分がある。
 - c. Executive Summary は RSS の内容を反映していない。
 - d. RSS は 内容の追跡が困難なようにならかれていた。
 - e. RSS が、原子炉事故の危険度を判断するための手段として採用すべきでない。事故発生確率の絶対値を算出する利用にはならぬ。
- o. NRCによる RSS 支持撤回. Jan. 18. 1979.
 - a. Executive Summary は撤回する。
 - b. RSS が示した事故発生確率の絶対値と、許認可手続及び公報への宣伝の目的で無批判的に利用しない。
 - c. 現状の不完全さを考慮して、確率論的安全評価は、今後発展させていく。
- o. Oversight Hearing before the subcommittee on Energy and the Environment of the Committee on Interior and Insular Affairs, House of Representatives.

1976. 6 ~ 1979. 2.

Dewport Beach Meeting (原子炉安全性の確率論的解析)
1978. 5.

推進派の全体的な意見.

RSS自身は手順、データベース等が不完全であるが、確率論的安全評価は、そのうちより改善され、数値的結果を得られるようになるとある。

- o. THI 事故発生 1979. 3. 28

二重冷却系の主給水系(二系統)停止

10^{-2} /yr. ~~for~~

補助給水系の作動失敗(三系統)

3.7×10^{-5} /~~for~~

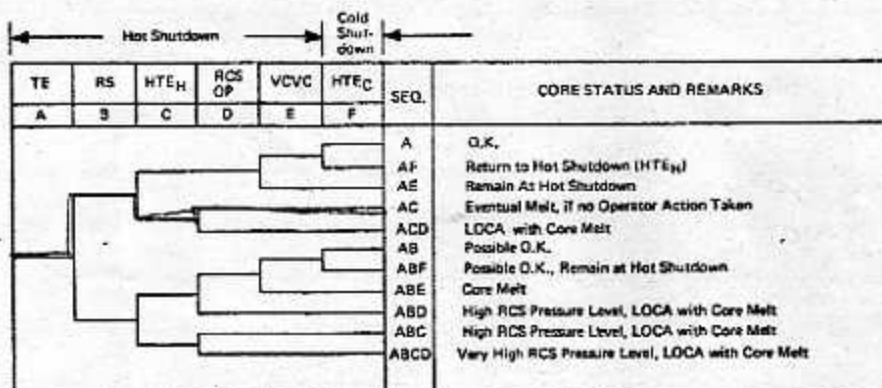
加压器逃げ弁の開閉

10^{-2} /demand

(RSSによる予測値) 3.7×10^{-9} /炉・年

~3 復旧年に1回

RSS, if PWR \rightarrow 12.7 Sunny-1 (WH社製) を解
析対象とし、(Fig. 28, Fig. 29)



Legend:

- A: TE - Transient Event
- B: RS - Reactor Subcritical
- C: HTEH - Heat Transfer to Environment During Cooldown of RCS to ~150°F and 400 psia
- D: OP - Overpressure Protection of Reactor Coolant System
- E: VCVC - Reactor Vessel Coolant Volume Control
- F: HTEC - Heat Transfer to Environment During Cold Shutdown of RCS from <150°F and < 400 PSIA
(This function is shown for completeness but is of limited interest to this study of PWR transient events)

Fig. 28 Functional Event Tree - PWR Transient Events

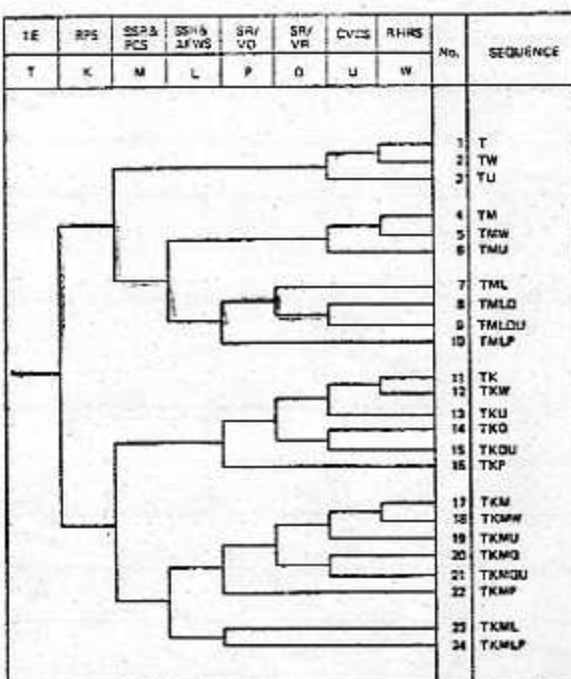
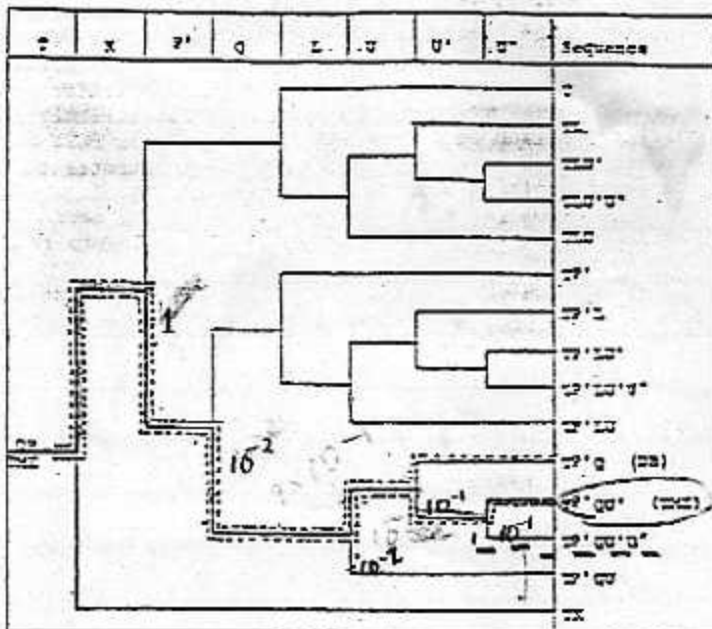


Fig. 29 PWR Transient Event Tree

TMI事故と確率論的安全評価について、米大統領特別委員会(通称「メニーバー委員会」)の Task Force が検討した報告書をまとめた。(Fig. 30)

Fig. 30

TRANSIENT EVENT TREE FOR B&W REACTORS



Normal Termination: T T'

PORV LOCA (no damage): sequence ending in L or Q

Core damage: sequence ending in U'

Core meltdown: sequence ending in U, U'', or K

T - Transient event

K - Scram availability (up/yes)

P' - PORV or safety valve operation required (down/yes)

Q - PORV or safety valve stuck open (down/yes)

L - Secondary side cooling restored (up/yes)

U - HPSI available (up/yes)

U' - HPSI interrupted and PORV open for sufficient period
of time to cause core damage (down/yes)U'' - HPSI restored and PORV closed in time to avoid core meltdown
(up/yes)

P': 加圧塔逃げ弁開かず死んでるか

—— 1/demand

Q: "開き着

—— 10^{-2} /demand

U': 商圧注入系が絞られ、かつ加圧塔逃げ

—— 10^{-1} /demand

が相当期間閉じられてる

—— 10^{-3} /demand

結論: 1000回のトランジエントで1回TMI事故が起る
 事実上、→従ってTMI事故が起ったことは確率論的評価と矛盾しない

これらの個々の確率値には信頼性がない。

例えは TMI事故以前の B&W炉の統計では 150回の

加圧器遮れ弁の開動作に対する 9~10 回 南国着立起=LC

“う”
商圧注入系を経て、そのは、加圧器を満水にしておなまつた
といふ「運転守引書」に従て、た結果となり。事實、TMI
事故以前より、Davis Besse も同様の行動がとられ
2..3.

絶対値を求める試みは單なる数字の並び=10..2
レ等、2..3.

アメニ-委員会の Task Force による、補助給水系の
作動・不作動 (L) の結果の影響などとして解
析は山2..3が。NRCの報告(通称 Rogovin 報告)
は FTR で、補助給水系の回復と 1 時間以後の
山2..3. 大心堵水門ヒタ山2..3. として考慮された
汀山2..3. ならない。

・ 事故確率評価、 “絶対値”と “相対値”
確率論的安全評価、特に RSS 等が示した絶対値が
信用できないこと。広く合意山2..3.
(Rasmussen自身、NRC、EPA、APS、UCS etc ----)

Table 9 Probability of Outcomes for B&W Reactor Transients

	Normal Termination	PORV LOCA	Core Damage	Core Meltdown
With Lower PORV Pressure Setting (Pre-TMI-2) 10,000-10,000	99%	1 in 100	1 in 1,000	2 in 10,000
With Higher PORV Pressure Setting (Post-TMI-2) 100,000-100,000	99.98%	1 in 50	2 in 100,000	1 in 100,000

This table indicates that both PORV LOCAs and core damage are 50 times less likely in the transients not requiring PORV operation than in those which do. Core melt is 20 times less likely. The reason is that the critical component when PORV is required is the PORV itself, while in the transients when PORV is not required the critical component is the more reliable auxiliary feedwater availability. The PORV failure rate is 100 times the product of auxiliary feed water and PORV failure rates. Note, however, that the higher PORV pressure setting may degrade the reliability of the HPSI in transients with loss of main and auxiliary feedwater.

ケメニ委員会の Task Force も "絶対値" と "相対値" を区别し、加压器逃げ弁作動圧力の設定点変更による相対的な事故確率を評価している。(Table 9)しかし、こうした変更によると生じる副次的影響が種々生じうることから、"相対値" もまた大きな誤差が含まれることを認識すべきである。

III. 問題の所在と今後の展望

1. 確率論的安全評価の限界

原子力に関する限り、

- ・データベースが不完全
- ・未解明や未知の安全問題が残る。予測シナリオを設定するに当たっても困難がつきまとつ。
- ・その上、手法自体が、発生確率の正確的小さく事故につなげ本質的に欠陥をもつ（事故は予測しえないことを本質とする）

従つて、確率論的安全評価が、経験の蓄積によつて一步一步改善させて行くものであるとして、結果は "絶対値" としないべきことは誤りである。

確率論的安全評価の手法が"利用できるとすれば、それは手だ"、個々の機器における設計の改良などから始めるべきである。戦えの原発について利用したいと言つてゐるが、特型別の安全評価、ナトリウム安全評価、等々の相対的な適用からこそ始めるべきである。

原子力における確率論的安全評価が、

"原発の大事故は実質的に起らす"。

原発クリスクは原発以外のリストに比べて小さい」ということは "絶対値" による考え方として RSSによって示されたことだ。原子力における確率論的安全評価のもつ政治的な意味を示してある。

2. 時代的な科学技術への自信

科学技術の限界性

科学技術が解決出来る問題と、しない問題

原発は近代的な科学技術を駆使して作られたため、
當然に安全であると考えられていましたが、TMI事故で
親類の懼りあつてコンピュータミスが該情報を持った。
大幅な時間遅れを生じていて、
確率論的安全評価でした。RSSはコンピュータを駆使
し、膨大な資料、人力を投入して行われたが、それとも手足
モデル・データベースが不適当ならば、どうやらコンピュータ工駆
使でした。結果は、なかなか信頼性を生み出せない
コンピュータ工駆使でした。さうして何が何をいつどの
ような角度に附すかう研究者の意識が問題

3 RSSを考慮せねばならず、また考慮するには難しい問題

- RSSでは、核燃料サイクルから原子炉の運転、それ
も事故時ににおけるリスクのみしか考慮せねばならぬ。
我々が原発を受け入れるかどうかは、核燃サイクル
全体の問題である。

再処理工場

ウラン採掘

Pu 繙環

廃棄物処分

4 戰争・核兵器問題

もし戦争が起られば原発が恰好の攻撃目標になら
ることは難い。

原発で生成されたPuが核兵器になる可能性は
平和利用三原則や国際査察を防げない。

(NPT批准国には、仏、中国、印、パキスタン、イスラエル、南ア
 エジプト、アルゼンチン等未加入
 インドは、1974年5月12日、核保有国になつて
 米国は、1977年7月末 軽水炉からのPuを核実験)

4. リスク-ベネフィット解析における“リスク”及び“ベネフィット” とは何が？

- リスクとは何が？

RSSにかけタリス
(事故の発生確率) × (事故による被害)

3つ他の通常運転時にかけタリス

戦争発生時にかけタリス).

社会的リスク).

Pu社会一國家警察社会

核物質防護隊.

原子力施設における"自主的"管理強化

"被官"のリスクは何によって測るか?

RSSのExecutive Summaryでは"急性死者"によつて
測られる。

遺伝的障害と急性死者或いは工場1ヘクタールの水素
放棄等の間の相互の"度合"はどう測るのか?

さらに、"被バク者"の"度合"はどう測るのか?

・選択的リスク(原子力)と選択しないリスク(隕石)
はどう比較するのか?

・ベネフィットとは何が?

原子力がエネルギー危機の救世主になりうるか?

Net Energy 分析

稼働率

(Fig. 31)

人類の未来はエネルギーの供給によつては支えられない。

有限な資源

有限な可耕地

有限な環境

} (Fig. 32 ~ 34)

・リスクを受けた社会とベネフィットを受けた社会の分界。

原発立地地域(過疎地)と電力利用地域(都合)

エネルギー消費社会と資源供給社会